

434-438

R333.2

Q482

前列腺素 E_1 对大鼠胃窦肌电活动的影响

李红芳^① 汪龙德^② 秦晓民^①

(^①兰州医学院生理教研室 兰州 730000)

(^②甘肃中医学院附属医院 兰州 730020)

摘要 用慢性实验方法,在 30 只 Wistar 大鼠胃窦部浆膜面埋置 Ag/AgCl 双极电极,观察腹腔注射前列腺素 E_1 (prostaglandin E_1 , PGE_1) 对胃窦肌电活动的影响。结果发现 PGE_1 : ①可降低慢波振幅;②使快波振幅呈现先抑制后增强的双相性变化,其增强时间较短;③导致腹泻。 PGE_1 对慢波和快波的抑制作用与肾上腺素能 α 和 β 受体无关,对快波的兴奋作用可能经由胆碱能 M 受体。

关键词 前列腺素 E_1 , 胃窦肌电, 肾上腺素能受体, 胆碱能 M 受体
中图分类号 R333, Q959.837

胃平滑肌细胞可合成多种前列腺素 (PG), 并影响液体食物和电解质的转运 (Paraskevopoulos 等, 1988; Kazuo 等, 1992; Soffer 等, 1993), 抑制胃酸分泌 (李建生等, 1990), 具有明显的细胞保护作用 (王志钧等, 1991)。目前多种 PGE 合成剂已用于消化道溃疡的治疗 (Vantrappen 等, 1980; 孙庆伟, 1990)。PGE 因其种类和给药途径不同, 对胃肠各节段的运动功能表现出复杂的作用。离体实验证明, PGE_1 、 PGE_2 可抑制胃窦环行肌自发收缩 (瞿颂义等, 1994; Bennett, 1976; Kazuo 等, 1976); 在体内, PGE_1 可抑制狗胃窦的运动 (张经济, 1990), 但其作用机理尚未完全阐明, 因此我们以胃窦肌电活动作为指标, 用慢性实验方法探讨外源性 PGE_1 对大鼠胃窦肌电的作用, 及胆碱能神经和肾上腺素能神经与 PGE_1 作用的关系, 为 PGE_1 的生理和药理学研究及临床应用提供实验资料。

1 实验方法

选用健康雄性 Wistar 大鼠, 体重 250~350 g, 盐酸氯胺酮腹腔麻醉 (100 mg/kg), 在胃窦埋置 1 对 Ag/AgCl 双极片状电极, 电极导线穿出腹壁肌肉经皮下潜行至两肩胛间引出体外, 手术后 1 周开始记录肌电活动, 手术及记录前均禁食 16~18 h, 饮水不限, 每次注射 PGE_1 后记录肌电活动 1 h 左右, 以给药前同部位注射同温度无菌生理盐水作为正常对照。肌电活动用 ND-82B 型八道脑电图机做双极描记 (上海电子仪器厂生产), 时间常数 0.1 s, 高频滤波 30 Hz。记录时将大鼠放在大鼠固定架内, 限制其活动, 可在其清醒安静情况下顺利进行。

30 只大鼠随机分为 IV 组: I 组单纯 PGE_1 (长春天诚药业有限公司) 10 只, 用 PGE_1 前, 将其干粉剂溶解于 0.9% 无菌生理盐水配成溶液 (1 μ g/mL), 盛于有色试剂瓶中, 按要求的剂量注射, 不用时, 将溶液放入冰箱低温保存。 PGE_1 粉剂在 -20℃ 下保存。II 组

阿托品 + PGE₁ 7 只; III 组酚妥拉明 + PGE₁ 7 只; IV 组心得安 + PGE₁ 6 只。每种阻断剂注射后 10~15 min (视胃电改变而定) 再注射 PGE₁。

结果统计胃窦肌电慢波和快波振幅, 快波振幅以每簇快波中最高值为代表。数据以平均数 ± 标准差 ($\bar{X} \pm SD$) 表示, 作 *t* 显著性检验。

2 实验结果

2.1 PGE₁ 对胃窦肌电活动的影响

大鼠腹腔注射 PGE₁ (6 μg/kg) (36.6 ± 9.5) s 后, 胃窦肌电慢波和快波振幅明显降低, 强抑制平均持续时间 (5.6 ± 1.6) min 后, 开始逐渐恢复。注射 PGE₁ 15 min 时, 慢波活动仍低于正常水平, 快波活动却明显增强, 即快波呈现先抑制后增强的变化, 注射 PGE₁ 30 min 后, 慢波和快波活动基本趋于正常 (表 1, 图 1)。10 只大鼠在 44 次实验中, 15 次出现腹泻。

2.2 阿托品加 PGE₁ 对胃窦肌电活动的影响

腹腔注射阿托品 (100 μg/kg) 可不同程度降低慢波和快波振幅。阻断 M 受体后注射 PGE₁, 胃窦肌电慢波振幅仍然明显抑制, 但在注射 PGE₁ 15 min 左右, 快波振幅增强效应消失 (表 2)。7 只大鼠在 17 次实验中出现 2 次腹泻。

表 1 PGE₁ 对大鼠胃窦肌电活动的影响
Table 1 Effects of PGE₁ on rat's antral myoelectric activity

	慢波振幅/μV	快波振幅/μV
对 照	239.64 ± 104.30	180.23 ± 69.27
注 PGE ₁ 后 5 min	97.95 ± 55.22***	95.23 ± 42.51***
10 min	129.09 ± 61.11***	142.52 ± 71.14*
15 min	140.00 ± 72.56***	213.44 ± 93.76*
20 min	175.00 ± 83.68	166.50 ± 74.14
30 min	220.68 ± 99.44	172.05 ± 67.27

* *P* < 0.05; ** *P* < 0.01; *** *P* < 0.001 与对照组相比 (vs control)。 (表 2~4 同)

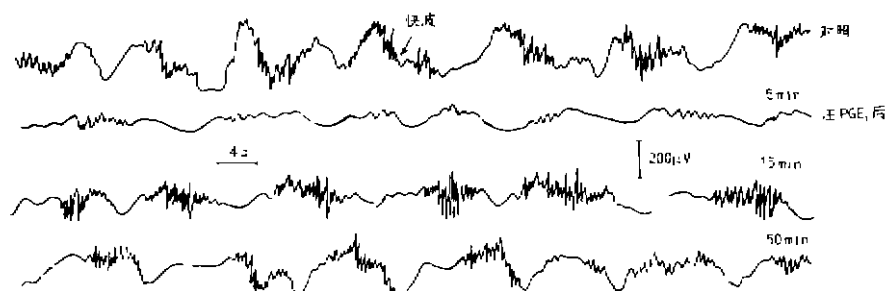


图 1 注射 PGE₁ 快波活动的双相性变化

Fig. 1 Bipolar changes of fast wave after injection of PGE₁

2.3 酚妥拉明或心得安加 PGE_1 对胃窦肌电活动的影响

腹腔注射酚妥拉明 ($300 \mu\text{g}/\text{kg}$) 后, 胃窦肌电慢波和快波振幅升高。阻断 α 受体后注射 PGE_1 , 胃窦肌电变化与单纯使用 PGE_1 时一致 (表 3)。7 只大鼠在 14 次实验中, 出现 5 次腹泻。

表 2 阻断 M 受体 PGE_1 对胃窦肌电的影响

Table 2 Effects of PGE_1 on antral myoelectric activity when M receptors were blocked

	慢波振幅/ μV	快波振幅/ μV
对 照	242.90 ± 91.09	177.60 ± 77.82
阿托品	$152.35 \pm 71.72^{**}$	$100.59 \pm 31.12^{**}$
注 PGE_1 后 5 min	$149.41 \pm 81.35^{**}$	$89.41 \pm 32.49^{**}$
10 min	$154.12 \pm 75.42^{**}$	$105.29 \pm 40.17^{**}$
15 min	$174.12 \pm 77.63^{*}$	$112.35 \pm 47.11^{**}$
20 min	$167.07 \pm 81.22^{*}$	144.71 ± 62.76
30 min	192.94 ± 87.70	165.29 ± 82.47

表 3 阻断 α 受体 PGE_1 对胃窦肌电的影响

Table 3 Effects of PGE_1 on antral myoelectric activity when α receptors were blocked

	慢波振幅/ μV	快波振幅/ μV
对 照	197.14 ± 104.03	142.85 ± 57.03
酚妥拉明	258.57 ± 111.90	$186.43 \pm 64.16^{*}$
注 PGE_1 后 5 min	$118.57 \pm 65.85^{*++}$	$82.86 \pm 49.37^{*+++}$
10 min	$175.71 \pm 96.45^{+-}$	169.29 ± 77.90
15 min	$180.00 \pm 97.35^{++}$	$194.29 \pm 82.44^{*}$
20 min	$188.57 \pm 99.45^{+}$	137.86 ± 45.43
30 min	$180.00 \pm 91.06^{++}$	140.71 ± 58.63

$+ P < 0.05$; $++ P < 0.01$; $+++ P < 0.001$ 与酚妥拉明相比 (vs Phentolamine)。

表 4 阻断 β 受体 PGE_1 对胃窦肌电的影响

Table 4 Effects of PGE_1 on antral myoelectric activity when β receptors were blocked

	慢波振幅/ μV	快波振幅/ μV
对 照	169.47 ± 117.12	138.42 ± 48.79
心得安	169.47 ± 110.63	140.53 ± 46.24
注 PGE_1 后 5 min	$92.11 \pm 57.21^{**}$	$79.47 \pm 39.93^{***}$
10 min	117.37 ± 93.03	131.05 ± 80.34
15 min	139.47 ± 111.38	150.52 ± 66.54
20 min	140.53 ± 92.16	118.42 ± 51.45
30 min	141.58 ± 93.71	128.42 ± 45.25

注射心得安 (1.5 mg/kg) 后, 胃窦肌电无明显变化, 10 min 时再注射 PGE_1 , 胃窦肌电变化与单纯使用 PGE_1 时一致 (表 4)。6 只大鼠在 19 次实验中 7 次出现腹泻。

3 讨 论

大鼠胃窦肌电表现为慢波和快波, 慢波是一种自发的去极化电位波动, 振幅个体差异较大, 个别大鼠慢波振幅可高达 $2000 \mu\text{V}$, 但亦仅有 $30 \mu\text{V}$ 者。多数慢波波形似正弦波, 上有平台, 可出现切迹而使慢波呈双峰或多峰型。快波 (峰电) 发放多呈簇状, 亦可单个发放, 不规则地负载于慢波波峰或其降支之上, 快波增强时在慢波任何部位均可发生 (张经济, 1990)。慢波并不引起平滑肌收缩, 但它为快波发放创造条件。当慢波除极电位使平滑肌细胞膜的除极超过某阈电位水平时, 会诱发快波 (周衍椒等, 1996), 并伴发平滑肌收缩, 快波的频率和振幅决定平滑肌收缩的强度。在我们的实验中, 可记录到大鼠慢波和快波, 腹腔注射 PGE_1 后, 胃窦肌电即刻发生抑制, 与 Kowalewski 等 (1975) 在狗的离体实验中报道一致。然而我们的实验发现在注射 PGE_1 后快波呈现先抑制后增强的双相变化, 这一结果未见报道。

交感神经肾上腺素系统抑制胃的运动, 迷走神经胆碱能系统增强胃运动, 这与我们的实验阻断 M 受体胃窦肌电抑制, 阻断 α 受体胃窦肌电兴奋是一致的。 PGE_1 抑制胃运动的机理还不太清楚。本实验用酚妥拉明和心得安分别阻断 α 、 β 受体后, PGE_1 对胃窦肌电的抑制作用仍然存在, 说明 PGE_1 的作用与肾上腺素系统无关。Mishima 等 (1976) 和 Sanders (1984) 报道 PGE_1 引起的豚鼠和狗胃窦环行肌舒张伴有肌膜超极化和 K^+ 通透性的增加, 这可能就是 PGE_1 降低胃窦慢波振幅, 抑制快波活动的原因。胃肠电慢波为肌源性活动, 较稳定; 而快波对内外环境因素变化敏感。在我们的实验中, 注射 PGE_1 15 min 左右, 慢波仍明显抑制, 而快波由抑制转为增强, 这是一种分离现象。Sanders (1984) 报道 PGE_1 可影响胃肠平滑肌胆碱能神经传递。我们用阿托品阻断 M 受体后, PGE_1 对快波增强作用消失, 说明胆碱能系统可能参与了 PGE_1 的作用。PG 在体内代谢迅速, 生物半衰期仅数分或数秒钟, 从我们的慢性大鼠实验结果来看, PGE_1 的作用时间较长, 说明除了直接作用外, 可能还有其他机制参与。另外, PGE_1 的作用可能与其受体有一定关系。

PGE_1 可促进液体食物的排空, 影响电解质的吸收。我们的实验发现 PGE_1 注射后先引起快波抑制, 15 min 左右快波增强, 且大鼠有腹泻发生。阻断 M 受体后, 快波增强作用消失, 大鼠腹泻减轻, 阻断 α 、 β 受体后腹泻与单纯使用 PGE_1 时一致, 由此可见胃窦快波增强是加速胃排空, 导致大鼠腹泻的原因之一。

参 考 文 献

- 王志钧、汪建英, 1991. 胃肠道的细胞保护作用. 见: 周吕主编, 胃肠生理——基础与临床. 北京: 科学出版社. 208~221.
- 孙庆伟, 1990. 前列腺素与消化性溃疡. 生理科学进展, 21: 64~69.
- 李建生、伍 忍, 1990. 前列腺素与胃酸分泌调节. 生理科学进展, 21: 64~69.
- 张经济, 1990. 消化道平滑肌的生物电活动. 见: 张经济主编, 消化道生理学. 广州: 中山大学出版社. 45~67.

- 周衍椒, 张镜如, 1996. 生理学 第四版, 北京: 人民卫生出版社. 232~233.
- 霍颂义, 李 伟, 郑天珍, 1994. 前列腺素 E_1 对大鼠离体平滑肌运动的作用. 中国应用生理学杂志, **10**: 300.
- Bennett A, 1976. Prostaglandins in the alimentary tract. In: Karim S M, Prostaglandins: physiological, pharmacological and pathological aspects. Lancaster: LK, MTP. 247-276.
- Kazuo N, Makoto K, Akinori U *et al*, 1992. Suppression of myoelectrical activity of gastric smooth muscle by endogenous gastric prostaglandin E_2 . *Dig. Dis. Sci.*, **37**: 1002-1008.
- Kazuo M, Hiroshi K, 1976. Effects of prostaglandin on electrical and mechanical activity of the guinea pig stomach. *Jap. J. Physiol.*, **26**: 537-548.
- Kowalewski K, Kolodziej A, 1975. Effect of prostaglandin E_2 on myoelectric and mechanical activity of totally isolated ex vivo-perfused canine stomach. *Pharmacology*, **13**: 325-339.
- Mishima K, Kuriyama H, 1976. Effects of prostaglandins on electrical and mechanical activities of the guinea pig stomach. *Jap. J. Physiol.*, **26**: 537-548.
- Paraskevopoulos J A, Houghton L A, Eyre-Booke I *et al*, 1988. Effect of composition of gastric contents on resistance to emptying of liquids from stomach in humans. *Dig. Dis. Sci.*, **32**: 914-918.
- Soffer E E, Launspach J, 1993. Effect of Misoprostol on postprandial intestinal motility and oro-cecal transit time in humans. *Dig. Dis. Sci.*, **38**: 851-855.
- Sanders K M, Szurszewski J H, 1981. Does endogenous prostaglandin affect gastric antral motility? *Am. J. Physiol.*, **247**: G191-195.
- Sanders K M, 1984. Role of prostaglandin in regulating gastric motility. *Am. J. Physiol.*, **247**: G117-126.
- Vantrappen G, Popiela T, Tytgat N J *et al*, 1980. A multicenter trial of 15 (R)-15-methyl prostaglandin E_2 in duodenal ulcer. *Gastroenterology*, **78**: 1238A.

EFFECT OF PROSTAGLANDIN E_1 ON RAT'S ANTRAL MYOELECTRIC ACTIVITY

LI Hong-fang^① WANG Long-de^② QIN Xiao-min^①

(①Department of Physiology, Lanzhou Medical College, Lanzhou 730000)

(②Hospital of Gansu Traditional Chinese Medical College, Lanzhou 730020)

Abstract

The effect of abdomino-injection prostaglandin E_1 (PGE_1) on antral myoelectric activity was investigated in 30 Wistar rats chronically implanted with Ag/AgCl bipolar electrode on the serosal surface of antrum. It was found that PGE_1 could ① decrease the amplitude of slow wave; ② cause biphasic changes of fast wave, usually with enhancement before giving way to inhibition; ③ cause diarrhea. The inhibitory action of PGE_1 on slow wave and fast wave might be not mediated via adrenergic α and β receptor, and the excitatory action of PGE_1 on fast wave was probably mediated via cholinergic M receptor.

Key words Prostaglandin E_1 (PGE_1), Antral myoelectric activity, Adrenergic receptor, Cholinergic M receptor